

Modélisation macroscopique des inondations fluviales et urbaines

Prise en compte des écoulements directionnels
et des échanges lit mineur - lit majeur

Pascal Finaud-Guyot

Ginger Environnement & Infrastructures, Laboratoire HydroSciences Montpellier

26 Novembre 2009

Financement CIFRE





Problématique

La modélisation est utilisée pour des zones d'étude présentant des axes d'écoulements préférentiels :

- ▶ lit mineur de rivière



Problématique

La modélisation est utilisée pour des zones d'étude présentant des axes d'écoulements préférentiels :

- ▶ lit mineur de rivière





Problématique

La modélisation est utilisée pour des zones d'étude présentant des axes d'écoulements préférentiels :

- ▶ lit mineur de rivière
- ▶ canaux d'irrigation et/ou de drainage



Problématique

La modélisation est utilisée pour des zones d'étude présentant des axes d'écoulements préférentiels :

- ▶ lit mineur de rivière
- ▶ canaux d'irrigation et/ou de drainage





Problématique

La modélisation est utilisée pour des zones d'étude présentant des axes d'écoulements préférentiels :

- ▶ lit mineur de rivière
- ▶ canaux d'irrigation et/ou de drainage
- ▶ axes routiers dans une zone bâtie



Problématique

La modélisation est utilisée pour des zones d'étude présentant des axes d'écoulements préférentiels :

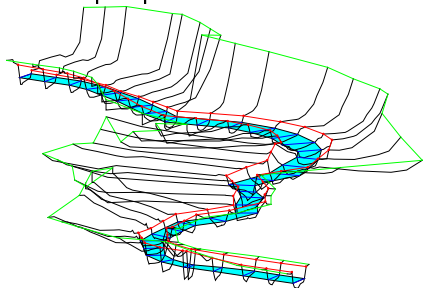
- ▶ lit mineur de rivière
- ▶ canaux d'irrigation et/ou de drainage
- ▶ axes routiers dans une zone bâtie





Modélisation 1D

- Changements de direction non pris en compte pour les calculs



Géométrie réelle

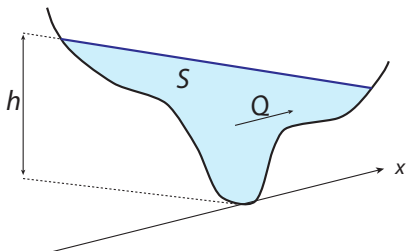


Modèle 1D



Modélisation 1D

- ▶ Changements de direction non pris en compte pour les calculs
- ▶ Deux variables (uniformes sur la section) descriptives de l'écoulement : S et Q



$$\frac{\partial \mathbf{U}}{\partial t} + \frac{\partial \mathbf{F}}{\partial x} = \mathbf{S}$$

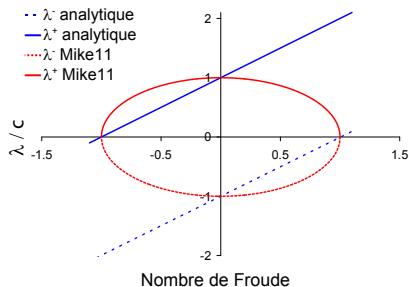
$$\mathbf{U} = \begin{bmatrix} S \\ Q \end{bmatrix} \quad \mathbf{F} = \begin{bmatrix} Q \\ \frac{Q^2}{S} + \frac{P}{\rho} \end{bmatrix}$$

$$\mathbf{S} = \begin{bmatrix} 0 \\ gS(S_0 - S_f) + I_p \end{bmatrix}$$



Modélisation 1D

- ▶ Changements de direction non pris en compte pour les calculs
- ▶ Deux variables (uniformes sur la section) descriptives de l'écoulement : S et Q
- ▶ Mauvaise représentation des célérités de propagation d'onde par la majorité des codes commerciaux



Célérités d'onde calculées par Mike 11



Modélisation 2D

- Trois variables
descriptives de
l'écoulement : h , q et r

$$\frac{\partial \mathbf{U}}{\partial t} + \frac{\partial \mathbf{F}}{\partial x} + \frac{\partial \mathbf{G}}{\partial y} = \mathbf{S}$$

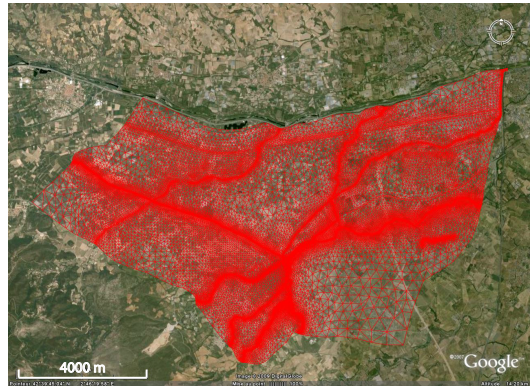
$$\mathbf{U} = \begin{bmatrix} h \\ q \\ r \end{bmatrix} \quad \mathbf{F} = \begin{bmatrix} q \\ \frac{q^2}{h} + \frac{1}{2}gh^2 \\ \frac{qr}{h} \end{bmatrix}$$

$$\mathbf{G} = \begin{bmatrix} \frac{r}{qr} \\ \frac{r^2}{h} + \frac{1}{2}gh^2 \end{bmatrix} \quad \mathbf{S} = \begin{bmatrix} 0 \\ gh(S_{0,x} - S_{f,x}) \\ gh(S_{0,y} - S_{f,y}) \end{bmatrix}$$



Modélisation 2D

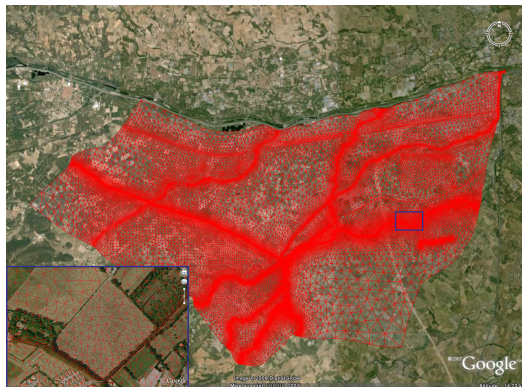
- ▶ Trois variables descriptives de l'écoulement : h , q et r
- ▶ Description fine de la topographie





Modélisation 2D

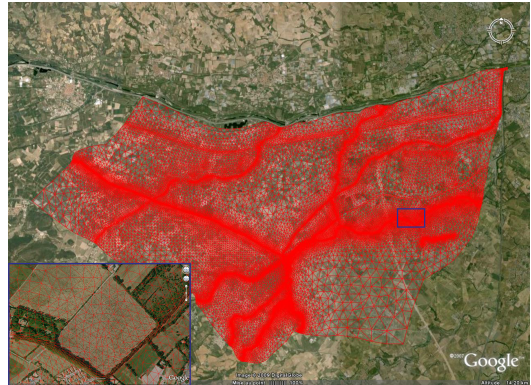
- ▶ Trois variables descriptives de l'écoulement : h , q et r
- ▶ Description fine de la topographie
- ▶ Besoin important en données topographiques





Modélisation 2D

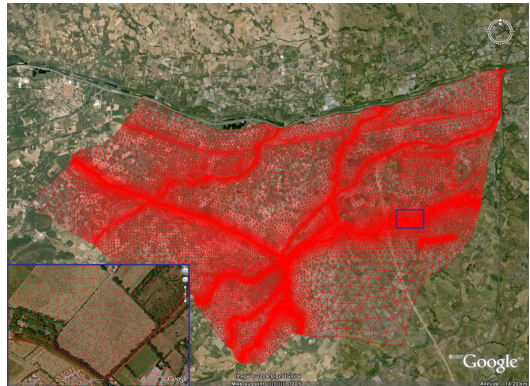
- ▶ Trois variables descriptives de l'écoulement : h , q et r
- ▶ Description fine de la topographie
 - ▶ Besoin important en données topographiques
 - ▶ Besoin important en main d'oeuvre





Modélisation 2D

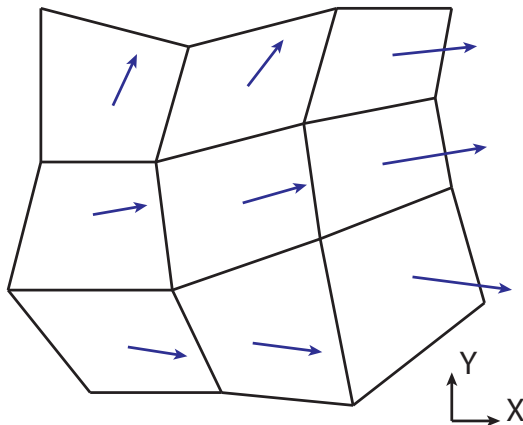
- ▶ Trois variables descriptives de l'écoulement : h , q et r
- ▶ Description fine de la topographie
 - ▶ Besoin important en données topographiques
 - ▶ Besoin important en main d'oeuvre
 - ▶ Durée de simulation importante





Modélisation 2D

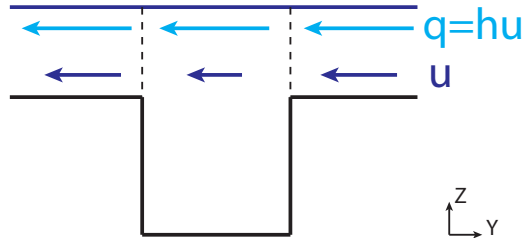
- ▶ Trois variables descriptives de l'écoulement : h , q et r
- ▶ Description fine de la topographie
- ▶ Variables uniformes sur la verticale





Modélisation 2D

- ▶ Trois variables descriptives de l'écoulement : h , q et r
- ▶ Description fine de la topographie
- ▶ Variables uniformes sur la verticale
- ▶ Impossibilité de représenter correctement les courts-circuits de méandres



Coupe transversale



Objectifs

- ▶ Développer un modèle de représentation des inondations :



Objectifs

- ▶ Développer un modèle de représentation des inondations :
 - ▶ ne nécessitant pas un maillage fin du lit mineur



Objectifs

- ▶ Développer un modèle de représentation des inondations :
 - ▶ ne nécessitant pas un maillage fin du lit mineur
 - ▶ permettant la représentation correcte des phénomènes tels que les courts-circuits de méandres



Objectifs

- ▶ Développer un modèle de représentation des inondations :
 - ▶ ne nécessitant pas un maillage fin du lit mineur
 - ▶ permettant la représentation correcte des phénomènes tels que les courts-circuits de méandres
- ▶ Concevoir les méthodes numériques permettant la résolution des équations proposées



Objectifs

- ▶ Développer un modèle de représentation des inondations :
 - ▶ ne nécessitant pas un maillage fin du lit mineur
 - ▶ permettant la représentation correcte des phénomènes tels que les courts-circuits de méandres
- ▶ Concevoir les méthodes numériques permettant la résolution des équations proposées
- ▶ Valider le modèle et le comparer à un modèle bidimensionnel classique



Objectifs

- ▶ Développer un modèle de représentation des inondations :
 - ▶ ne nécessitant pas un maillage fin du lit mineur
 - ▶ permettant la représentation correcte des phénomènes tels que les courts-circuits de méandres
- ▶ Concevoir les méthodes numériques permettant la résolution des équations proposées
- ▶ Valider le modèle et le comparer à un modèle bidimensionnel classique
- ▶ Développer un code de calcul opérationnel sur la base de ce modèle



Objectifs

- ▶ Développer un modèle de représentation des inondations :
 - ▶ ne nécessitant pas un maillage fin du lit mineur
 - ▶ permettant la représentation correcte des phénomènes tels que les courts-circuits de méandres
- ▶ Concevoir les méthodes numériques permettant la résolution des équations proposées
- ▶ Valider le modèle et le comparer à un modèle bidimensionnel classique
- ▶ Développer un code de calcul opérationnel sur la base de ce modèle
 - ▶ Permettre une réduction de la durée de simulation



Objectifs

- ▶ Développer un modèle de représentation des inondations :
 - ▶ ne nécessitant pas un maillage fin du lit mineur
 - ▶ permettant la représentation correcte des phénomènes tels que les courts-circuits de méandres
- ▶ Concevoir les méthodes numériques permettant la résolution des équations proposées
- ▶ Valider le modèle et le comparer à un modèle bidimensionnel classique
- ▶ Développer un code de calcul opérationnel sur la base de ce modèle
 - ▶ Permettre une réduction de la durée de simulation
 - ▶ Obtenir une précision au moins égale à celle du modèle SW2D



Plan

Modèle

- Méthodologies de couplage employées par les codes de calcul

- Contraintes

- Description du modèle proposé

Résolution numérique

- Méthodes numériques

- Implantation dans le code de calcul

- Vérification du solveur PorAS

Présentation des résultats

- Configuration rectiligne

- Configuration sinueuse

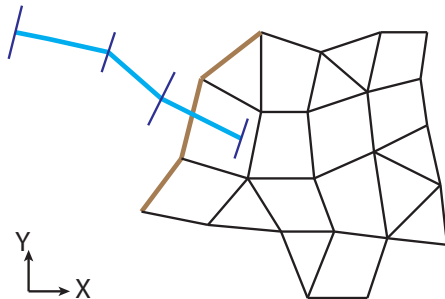
- Configuration réelle

Conclusion et perspectives



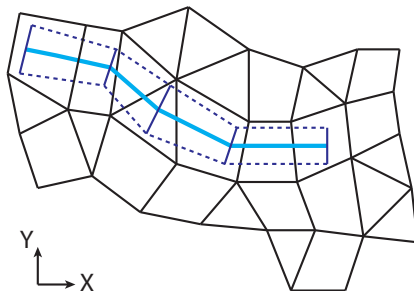
Couplage par les extrémités du modèle 1D (Wolf Package, Mike Flood)

- ▶ Échange explicite de conditions aux limites





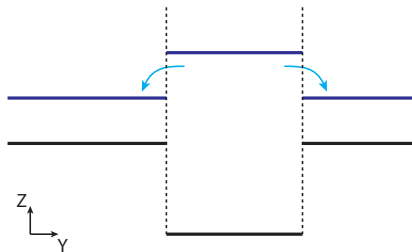
Couplage latéral (CCHE-Flood, Mike Flood)



Couplage latéral (CCHE-Flood, Mike Flood)

- Calcul du débit par une équation de déversoir :

$$Q = f(\Delta z)$$



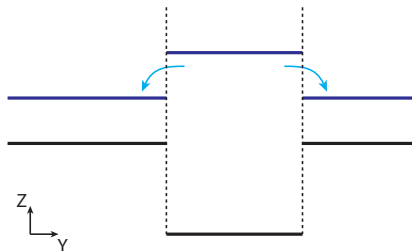
Coupe transversale



Couplage latéral (CCHE-Flood, Mike Flood)

- ▶ Calcul du débit par une équation de déversoir :

$$Q = f(\Delta z)$$
- ▶ Transfert de masse uniquement entre les modèles



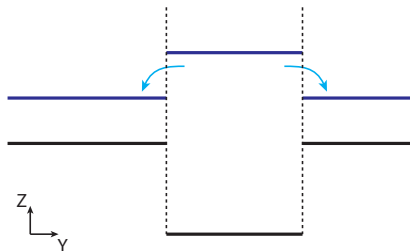
Coupe transversale



Couplage latéral (CCHE-Flood, Mike Flood)

- ▶ Calcul du débit par une équation de déversoir :

$$Q = f(\Delta z)$$
- ▶ Transfert de masse uniquement entre les modèles
 - ▶ Ralentissement de l'écoulement dans le modèle aval
 - ▶ Accélération de l'écoulement dans le modèle amont



Coupe transversale



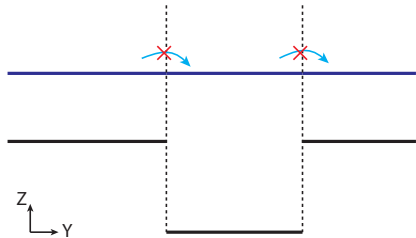
Couplage latéral (CCHE-Flood, Mike Flood)

- ▶ Calcul du débit par une équation de déversoir :
$$Q = f(\Delta z)$$
- ▶ Transfert de masse uniquement entre les modèles
- ▶ Prise en compte impossible des cours-circuits de méandres



Couplage latéral (CCHE-Flood, Mike Flood)

- ▶ Calcul du débit par une équation de déversoir :
 $Q = f(\Delta z)$
- ▶ Transfert de masse uniquement entre les modèles
- ▶ Prise en compte impossible des cours-circuits de méandres
- ▶ Annulation du débit de transfert en situation de court-circuit

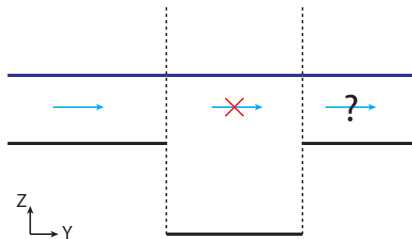


Coupe transversale



Couplage latéral (CCHE-Flood, Mike Flood)

- ▶ Calcul du débit par une équation de déversoir :
 $Q = f(\Delta z)$
- ▶ Transfert de masse uniquement entre les modèles
- ▶ Prise en compte impossible des cours-circuits de méandres
- ▶ Composante transversale de la vitesse nulle dans les équations 1D

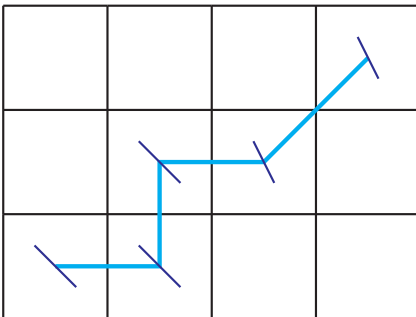


Coupe transversale



Couplage 1D-2D complet (Sobek 1D-2D)

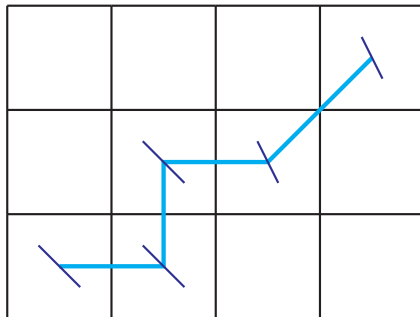
- 1 équation de conservation de la masse





Couplage 1D-2D complet (Sobek 1D-2D)

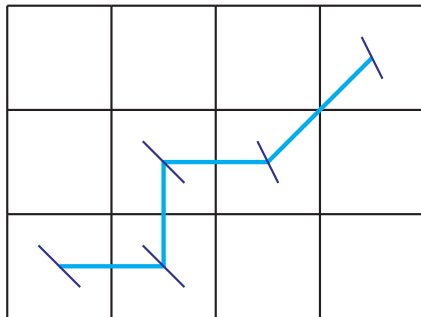
- ▶ 1 équation de conservation de la masse
- ▶ cotes de la surface libre identiques : $z_{1D} = z_{2D}$





Couplage 1D-2D complet (Sobek 1D-2D)

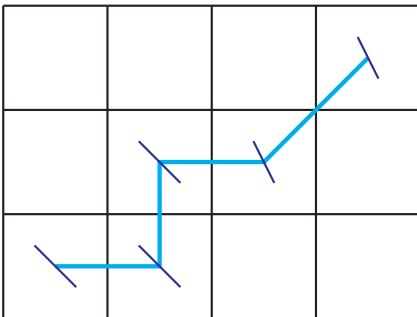
- ▶ 1 équation de conservation de la masse
- ▶ cotes de la surface libre identiques : $z_{1D} = z_{2D}$
- ▶ 1 équation de conservation de la quantité de mouvement (QdM) pour chaque modèle





Couplage 1D-2D complet (Sobek 1D-2D)

- ▶ 1 équation de conservation de la masse
- ▶ cotes de la surface libre identiques : $z_{1D} = z_{2D}$
- ▶ 1 équation de conservation de la quantité de mouvement (QdM) pour chaque modèle
- ▶ Pas de référence bibliographique disponible sur les interactions 1D-2D





Réduction de la durée de simulation

- Contrainte de stabilité et/ou de précision : $C_r \approx 1$



Réduction de la durée de simulation

- ▶ Contrainte de stabilité et/ou de précision : $Cr \approx 1$
- ▶ Détermination du pas de temps de calcul maximal admissible à partir de cette contrainte :

$$\Delta t \leq \frac{A_j}{|\lambda| \sum_j L_{ij}}$$



Réduction de la durée de simulation

- ▶ Contrainte de stabilité et/ou de précision : $Cr \approx 1$
- ▶ Détermination du pas de temps de calcul maximal admissible à partir de cette contrainte :

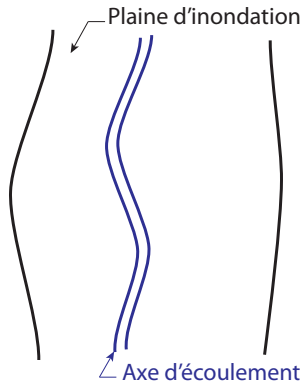
$$\Delta t \leq \frac{A_j}{|\lambda| \sum_j L_{ij}}$$

Limiter la présence de mailles de dimensions réduites qui impliquent un pas de temps faible



Prise en compte des axes d'écoulements

Modélisation 2D classique :

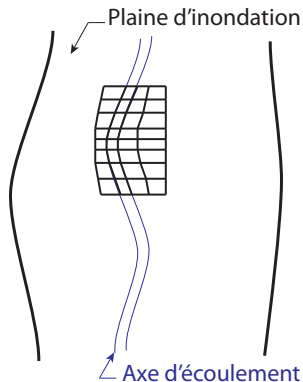




Prise en compte des axes d'écoulements

Modélisation 2D classique :

- Maillage fin imposé par la prise en compte de l'axe d'écoulement





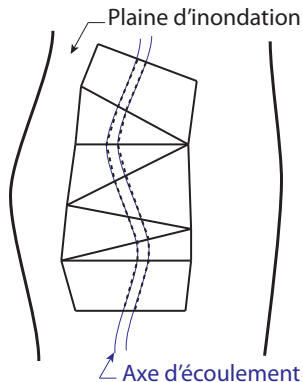
Prise en compte des axes d'écoulements

Modélisation 2D classique :

- ▶ Maillage fin imposé par la prise en compte de l'axe d'écoulement

Objectif :

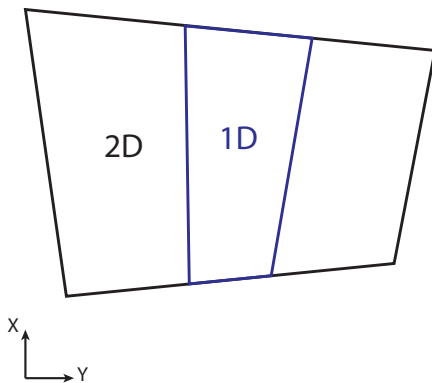
- ▶ Prise en compte de l'axe d'écoulement sans influencer le maillage du champ majeur





Hypothèses sur la géométrie

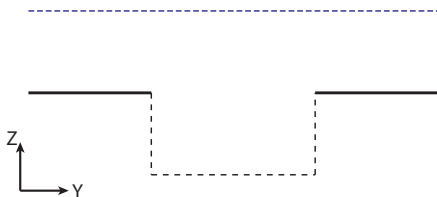
- ▶ Chaque maille 1D est incluse dans une maille 2D





Hypothèses sur la géométrie

- ▶ Chaque maille 1D est incluse dans une maille 2D
- ▶ La cote du fond de la maille 2D est constante

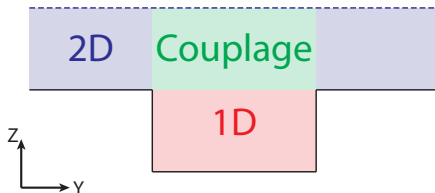


Coupe transversale



Hypothèses sur la géométrie

- ▶ Chaque maille 1D est incluse dans une maille 2D
- ▶ La cote du fond de la maille 2D est constante



Coupe transversale



Hypothèses sur l'écoulement

- ▶ Hypothèses intrinsèques aux équations de Saint-Venant :
 - ▶ Profil de pression hydrostatique

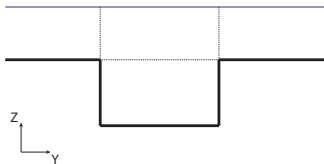
Hypothèses sur l'écoulement

- ▶ Hypothèses intrinsèques aux équations de Saint-Venant :
 - ▶ Profil de pression hydrostatique
 - ▶ L'eau est un fluide incompressible



Hypothèses sur l'écoulement

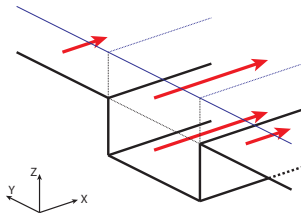
- ▶ Hypothèses intrinsèques aux équations de Saint-Venant :
 - ▶ Profil de pression hydrostatique
 - ▶ L'eau est un fluide incompressible
- ▶ Hypothèses spécifiques au modèle :
 - ▶ Cote de la surface libre identique sur les mailles 1D et 2D





Hypothèses sur l'écoulement

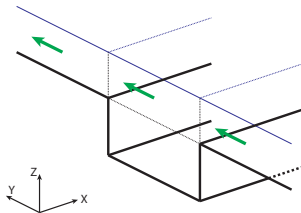
- ▶ Hypothèses intrinsèques aux équations de Saint-Venant :
 - ▶ Profil de pression hydrostatique
 - ▶ L'eau est un fluide incompressible
- ▶ Hypothèses spécifiques au modèle :
 - ▶ Cote de la surface libre identique sur les mailles 1D et 2D
 - ▶ Composante longitudinale u de la vitesse : uniforme sur la verticale





Hypothèses sur l'écoulement

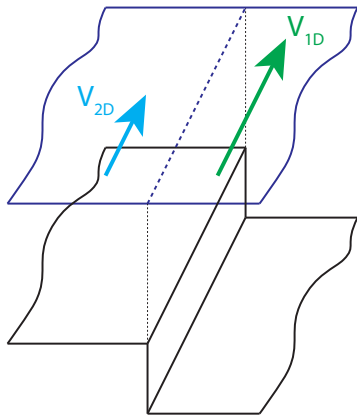
- ▶ Hypothèses intrinsèques aux équations de Saint-Venant :
 - ▶ Profil de pression hydrostatique
 - ▶ L'eau est un fluide incompressible
- ▶ Hypothèses spécifiques au modèle :
 - ▶ Cote de la surface libre identique sur les mailles 1D et 2D
 - ▶ Composante longitudinale u de la vitesse : uniforme sur la verticale
 - ▶ Composantes transversales v de la vitesse : identiques en surface





Hypothèse sur l'écoulement longitudinal

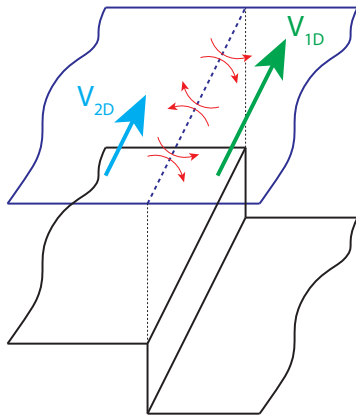
- Cisaillement de vitesse au niveau de l'interface intérieure





Hypothèse sur l'écoulement longitudinal

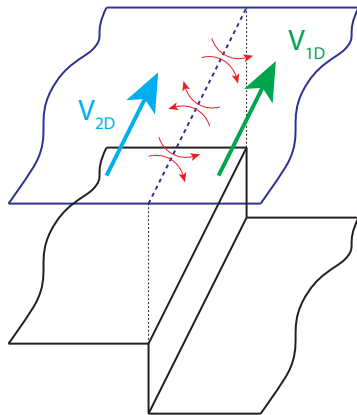
- ▶ Cisaillement de vitesse au niveau de l'interface intérieure
- ▶ Formation de tourbillons





Hypothèse sur l'écoulement longitudinal

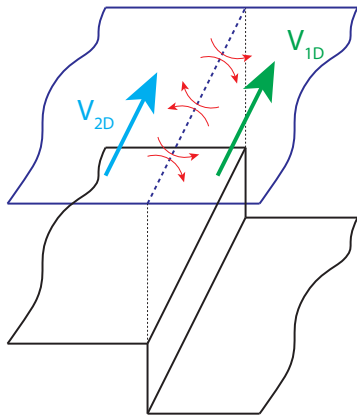
- ▶ Cisaillement de vitesse au niveau de l'interface intérieure
- ▶ Formation de tourbillons
- ▶ Échange de QdM entre l'écoulement 1D et 2D





Hypothèse sur l'écoulement longitudinal

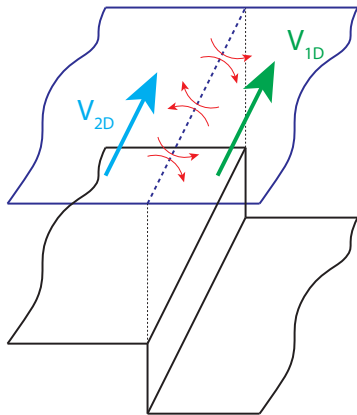
- ▶ Cisaillement de vitesse au niveau de l'interface intérieure
- ▶ Formation de tourbillons
- ▶ Échange de QdM entre l'écoulement 1D et 2D
- ▶ Estimation du flux de QdM :
 $q = \psi' |V_{1D} - V_{2D}|$ (Bousmar, 2002 [2] et Bertrand, 1994 [1])





Hypothèse sur l'écoulement longitudinal

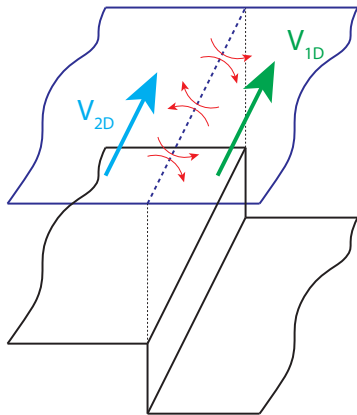
- ▶ Cisaillement de vitesse au niveau de l'interface intérieure
- ▶ Formation de tourbillons
- ▶ Échange de QdM entre l'écoulement 1D et 2D
- ▶ Estimation du flux de QdM :
 $q = \psi' |V_{1D} - V_{2D}|$ (Bousmar, 2002 [2] et Bertrand, 1994 [1])
- ▶ Détermination du volume échangé





Hypothèse sur l'écoulement longitudinal

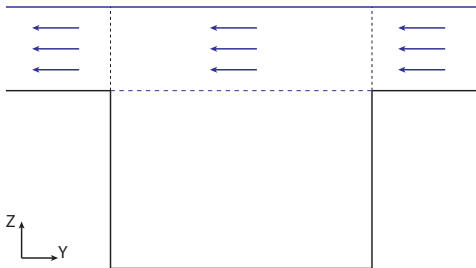
- ▶ Cisaillement de vitesse au niveau de l'interface intérieure
- ▶ Formation de tourbillons
- ▶ Échange de QdM entre l'écoulement 1D et 2D
- ▶ Estimation du flux de QdM :
 $q = \psi' |V_{1D} - V_{2D}|$ (Bousmar, 2002 [2] et Bertrand, 1994 [1])
- ▶ Détermination du volume échangé
- ▶ Transport de QdM longitudinale et transversale





Hypothèse sur l'écoulement transversal

- ▶ La composante transversale de la vitesse est la même pour les deux mailles

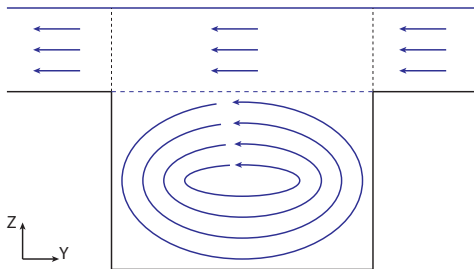


Coupe transversale



Hypothèse sur l'écoulement transversal

- ▶ La composante transversale de la vitesse est la même pour les deux mailles
- ▶ Création d'un tourbillon vertical

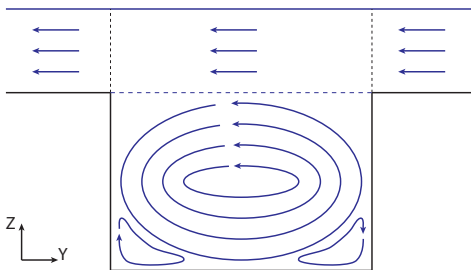


Coupe transversale



Hypothèse sur l'écoulement transversal

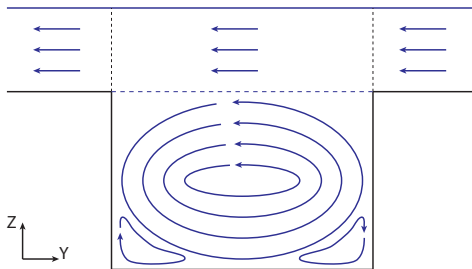
- ▶ La composante transversale de la vitesse est la même pour les deux mailles
- ▶ Création d'un tourbillon vertical
- ▶ Création de zones d'eau morte



Coupe transversale

Hypothèse sur l'écoulement transversal

- ▶ La composante transversale de la vitesse est la même pour les deux mailles
- ▶ Création d'un tourbillon vertical
- ▶ Création de zones d'eau morte
- ▶ Pertes de charge (non implantées dans SW12D)

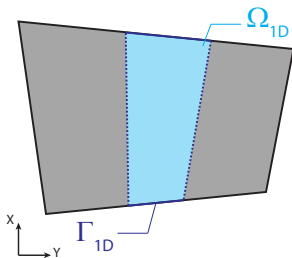


Coupe transversale

Formalisation mathématique

- Écriture sous forme différentielle

$$\frac{\partial \mathbf{U}_{1D}}{\partial t} + \frac{\partial \mathbf{F}_{1D}}{\partial x_{1D}} = \mathbf{S}_{1D} + \mathbf{T}_e$$

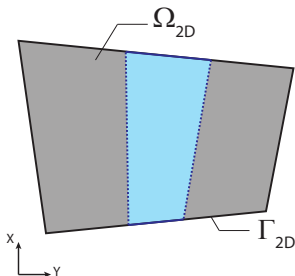




Formalisation mathématique

- Écriture sous forme différentielle

$$\frac{\partial \mathbf{U}_{2D}}{\partial t} + \frac{\partial \mathbf{F}_{2D}}{\partial x_{2D}} + \frac{\partial \mathbf{G}_{2D}}{\partial y_{2D}} = \mathbf{S}_{2D} - \mathbf{T}_e$$





Formalisation mathématique

- Écriture sous forme différentielle

$$\frac{\partial \mathbf{U}_{1D}}{\partial t} + \frac{\partial \mathbf{F}_{1D}}{\partial x_{1D}} = \mathbf{S}_{1D} + \mathbf{T}_e$$

$$\frac{\partial \mathbf{U}_{2D}}{\partial t} + \frac{\partial \mathbf{F}_{2D}}{\partial x_{2D}} + \frac{\partial \mathbf{G}_{2D}}{\partial y_{2D}} = \mathbf{S}_{2D} - \mathbf{T}_e$$

$$\mathbf{U} = \begin{bmatrix} \phi h \\ \phi q \\ \phi r \end{bmatrix} \quad \mathbf{S} = \begin{bmatrix} 0 \\ g\phi h (S_{0,x_k} - S_{f,x_k}) + \frac{1}{2}gh^2 \frac{\partial \phi}{\partial x_k} \\ g\phi h (S_{0,y_k} - S_{f,y_k}) + \frac{1}{2}gh^2 \frac{\partial \phi}{\partial y_k} \end{bmatrix}$$

$$\mathbf{F} = \begin{bmatrix} \phi q \\ \phi \frac{q^2}{h} + \frac{1}{2}g\phi h^2 \\ \phi \frac{qr}{h} \end{bmatrix}$$

$$\mathbf{G} = \begin{bmatrix} \phi r \\ \phi \frac{qr}{h} \\ \phi \frac{r^2}{h} + \frac{1}{2}g\phi h^2 \end{bmatrix}$$

Plan

Modèle

Méthodologies de couplage employées par les codes de calcul

Contraintes

Description du modèle proposé

Résolution numérique

Méthodes numériques

Implantation dans le code de calcul

Vérification du solveur PorAS

Présentation des résultats

Configuration rectiligne

Configuration sinueuse

Configuration réelle

Conclusion et perspectives



Méthode des pas fractionnaires (*time splitting*)

Méthode numérique fréquemment utilisée :

- ▶ pour la prise en compte des termes source
- ▶ pour la résolution de problèmes multidimensionnels



Méthode des pas fractionnaires (*time splitting*)

Méthode numérique fréquemment utilisée :

- ▶ pour la prise en compte des termes source
 - ▶ pour la résolution de problèmes multidimensionnels
- Résolution de l'équation représentant un problème global sous forme de plusieurs problèmes plus simples à résoudre :

$$U^n \xrightarrow{\frac{\partial U}{\partial t} + \frac{\partial F}{\partial x} = S + T} U^{n+1}$$

Méthode des pas fractionnaires (*time splitting*)

Méthode numérique fréquemment utilisée :

- ▶ pour la prise en compte des termes source
 - ▶ pour la résolution de problèmes multidimensionnels
- Résolution de l'équation représentant un problème global sous forme de plusieurs problèmes plus simples à résoudre :

$$\frac{\partial U}{\partial t} + \frac{\partial F}{\partial x} = S + T$$

$$U^n \xrightarrow{\frac{\partial U}{\partial t} + \frac{\partial F}{\partial x} = 0} U^{n,h} \xrightarrow{\frac{\partial U}{\partial t} = S} U^{n,s} \xrightarrow{\frac{\partial U}{\partial t} = T} U^{n+1}$$

Algorithme de résolution

$$\frac{\partial \mathbf{U}_k}{\partial t} + \frac{\partial \mathbf{F}_k}{\partial x_k} + \frac{\partial \mathbf{G}_k}{\partial y_k} = \mathbf{S}_k \pm \mathbf{T}_e \text{ avec } k = 1D, 2D$$



Algorithme de résolution

$$\frac{\partial \mathbf{U}_k}{\partial t} + \frac{\partial \mathbf{F}_k}{\partial x_k} + \frac{\partial \mathbf{G}_k}{\partial y_k} = [\mathbf{S}_{0,k} + \mathbf{S}_{p,k} + \mathbf{S}_{f,k}] \pm [\mathbf{T}_l + \mathbf{T}_m + \mathbf{T}_t]$$

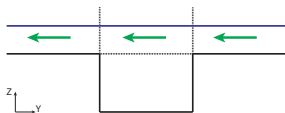


Algorithme de résolution

$$\frac{\partial \mathbf{U}_k}{\partial t} + \frac{\partial \mathbf{F}_k}{\partial x_k} + \frac{\partial \mathbf{G}_k}{\partial y_k} = [\mathbf{S}_{0,k} + \mathbf{S}_{p,k} + \mathbf{S}_{f,k}] \pm [\mathbf{T}_l + \mathbf{T}_m + \mathbf{T}_t]$$

Étapes de calcul :

- Conditions initiales

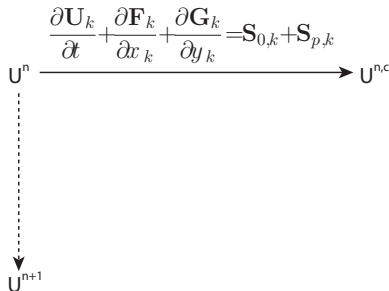
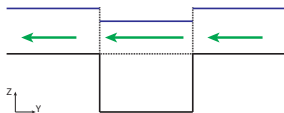


Algorithme de résolution

$$\frac{\partial \mathbf{U}_k}{\partial t} + \frac{\partial \mathbf{F}_k}{\partial x_k} + \frac{\partial \mathbf{G}_k}{\partial y_k} = [\mathbf{S}_{0,k} + \mathbf{S}_{p,k} + \mathbf{S}_{f,k}] \pm [\mathbf{T}_l + \mathbf{T}_m + \mathbf{T}_t]$$

Étapes de calcul :

- ▶ Partie conservative des équations et prise en compte des termes source géométriques



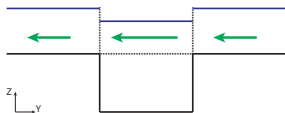
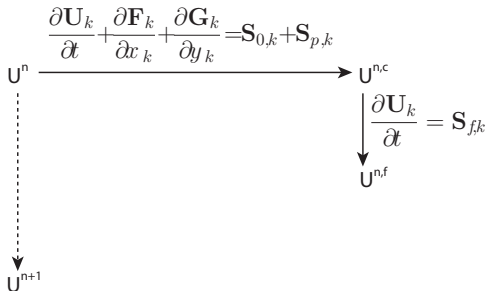


Algorithme de résolution

$$\frac{\partial \mathbf{U}_k}{\partial t} + \frac{\partial \mathbf{F}_k}{\partial x_k} + \frac{\partial \mathbf{G}_k}{\partial y_k} = [\mathbf{S}_{0,k} + \mathbf{S}_{p,k} + \mathbf{S}_{f,k}] \pm [\mathbf{T}_l + \mathbf{T}_m + \mathbf{T}_t]$$

Étapes de calcul :

- Prise en compte des frottements



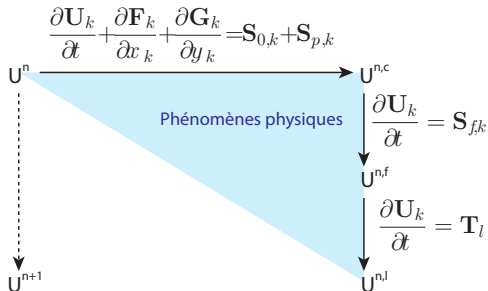
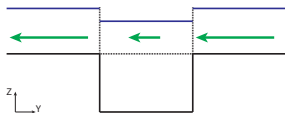


Algorithme de résolution

$$\frac{\partial \mathbf{U}_k}{\partial t} + \frac{\partial \mathbf{F}_k}{\partial x_k} + \frac{\partial \mathbf{G}_k}{\partial y_k} = [\mathbf{S}_{0,k} + \mathbf{S}_{p,k} + \mathbf{S}_{f,k}] \pm [\mathbf{T}_l + \mathbf{T}_m + \mathbf{T}_t]$$

Étapes de calcul :

- Transfert de QdM longitudinale



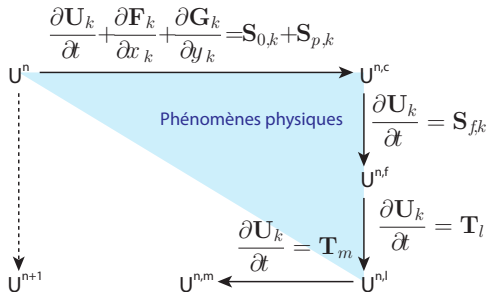
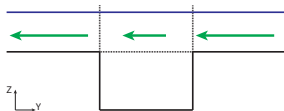


Algorithme de résolution

$$\frac{\partial \mathbf{U}_k}{\partial t} + \frac{\partial \mathbf{F}_k}{\partial x_k} + \frac{\partial \mathbf{G}_k}{\partial y_k} = [\mathbf{S}_{0,k} + \mathbf{S}_{p,k} + \mathbf{S}_{f,k}] \pm [\mathbf{T}_l + \mathbf{T}_m + \mathbf{T}_t]$$

Étapes de calcul :

- ▶ Équilibrage de la masse



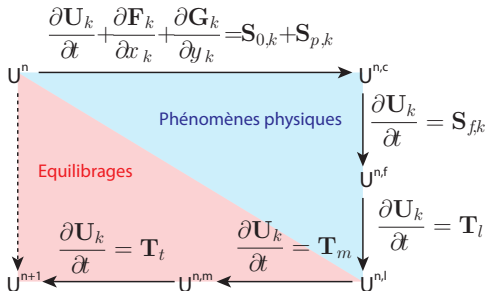
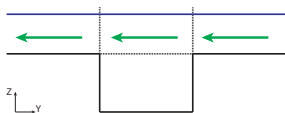


Algorithme de résolution

$$\frac{\partial \mathbf{U}_k}{\partial t} + \frac{\partial \mathbf{F}_k}{\partial x_k} + \frac{\partial \mathbf{G}_k}{\partial y_k} = [\mathbf{S}_{0,k} + \mathbf{S}_{p,k} + \mathbf{S}_{f,k}] \pm [\mathbf{T}_l + \mathbf{T}_m + \mathbf{T}_t]$$

Étapes de calcul :

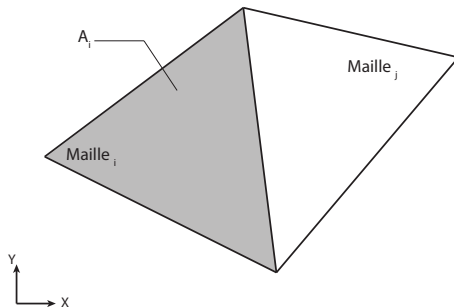
- Équilibrage de la QDM transversale





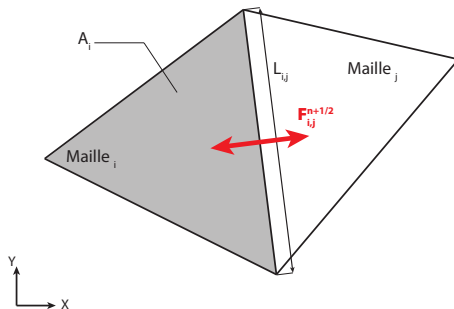
Méthodes aux volumes finis

- Discrétisation de la zone d'étude



Méthodes aux volumes finis

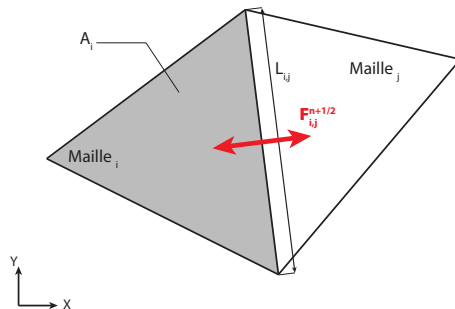
- ▶ Discrétisation de la zone d'étude
- ▶ Calcul des flux à travers l'interface entre deux éléments de calcul



$$\mathbf{U}_i^{n+1} = \mathbf{U}_i^n - \frac{\Delta t}{A_i} \sum_j \left[\mathbf{P}_{i,j} \mathbf{F}_{i,j}^{n+1/2} L_{i,j} \right] + \Delta t \left(\mathbf{S}_{i,j}^{n+1/2} \right)_i$$

Méthodes aux volumes finis

- ▶ Discrétisation de la zone d'étude
- ▶ Calcul des flux à travers l'interface entre deux éléments de calcul
- ▶ Schéma de Godunov : calcul des flux par résolution d'un problème de Riemann à l'interface



$$\mathbf{U}_i^{n+1} = \mathbf{U}_i^n - \frac{\Delta t}{A_i} \sum_j \left[\mathbf{P}_{i,j} \mathbf{F}_{i,j}^{n+1/2} L_{i,j} \right] + \Delta t \left(\mathbf{S}_{i,j}^{n+1/2} \right)_i$$

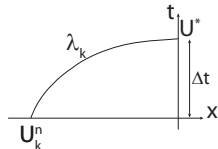
Solveur d'état approché PorAS

$$\frac{\partial \mathbf{U}}{\partial t} + \frac{\partial \mathbf{F}}{\partial x} = \mathbf{S}$$

Objectif : Estimation du flux à l'interface F^* en tenant compte du terme source

Solveur d'état approché PorAS

Utilisation de la méthode des caractéristiques :

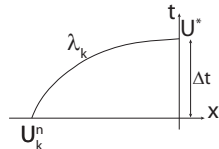


Solveur d'état approché PorAS

Utilisation de la méthode des caractéristiques :

- Écriture de l'équation sous forme non conservative :

$$\frac{\partial \mathbf{U}}{\partial t} + \mathbf{A} \frac{\partial \mathbf{U}}{\partial x} = \mathbf{S}$$



Solveur d'état approché PorAS

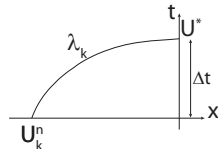
Utilisation de la méthode des caractéristiques :

- ▶ Écriture de l'équation sous forme non conservative :

$$\frac{\partial \mathbf{U}}{\partial t} + \mathbf{A} \frac{\partial \mathbf{U}}{\partial x} = \mathbf{S}$$

- ▶ Diagonalisation du système :

$$\frac{d\mathbf{W}}{dt} = \mathbf{S}' \text{ avec } \begin{cases} d\mathbf{W} = \mathbf{K}^{-1} d\mathbf{U} \\ \mathbf{S}' = \mathbf{K}^{-1} \mathbf{S} \end{cases}$$





Solveur d'état approché PorAS

Utilisation de la méthode des caractéristiques :

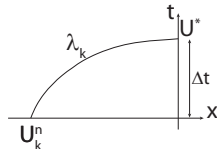
- ▶ Écriture de l'équation sous forme non conservative :

$$\frac{\partial \mathbf{U}}{\partial t} + \mathbf{A} \frac{\partial \mathbf{U}}{\partial x} = \mathbf{S}$$

- ▶ Diagonalisation du système :

$$\frac{d\mathbf{W}}{dt} = \mathbf{S}' \text{ avec } \begin{cases} d\mathbf{W} = \mathbf{K}^{-1} d\mathbf{U} \\ \mathbf{S}' = \mathbf{K}^{-1} \mathbf{S} \end{cases}$$

- ▶ Détermination des invariants de Riemann \mathbf{W} en fonction de \mathbf{U}





Solveur d'état approché PorAS

Utilisation de la méthode des caractéristiques :

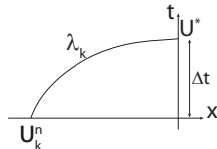
- ▶ Écriture de l'équation sous forme non conservative :

$$\frac{\partial \mathbf{U}}{\partial t} + \mathbf{A} \frac{\partial \mathbf{U}}{\partial x} = \mathbf{S}$$

- ▶ Diagonalisation du système :

$$\frac{d\mathbf{W}}{dt} = \mathbf{S}' \text{ avec } \begin{cases} d\mathbf{W} = \mathbf{K}^{-1} d\mathbf{U} \\ \mathbf{S}' = \mathbf{K}^{-1} \mathbf{S} \end{cases}$$

- ▶ Détermination des invariants de Riemann \mathbf{W} en fonction de \mathbf{U}
- ▶ Calcul de \mathbf{U}^* à l'interface





Solveur d'état approché PorAS

Utilisation de la méthode des caractéristiques :

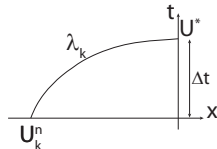
- Écriture de l'équation sous forme non conservative :

$$\frac{\partial \mathbf{U}}{\partial t} + \mathbf{A} \frac{\partial \mathbf{U}}{\partial x} = \mathbf{S}$$

- Diagonalisation du système :

$$\frac{d\mathbf{W}}{dt} = \mathbf{S}' \text{ avec } \begin{cases} d\mathbf{W} = \mathbf{K}^{-1} d\mathbf{U} \\ \mathbf{S}' = \mathbf{K}^{-1} \mathbf{S} \end{cases}$$

- Détermination des invariants de Riemann \mathbf{W} en fonction de \mathbf{U}
- Calcul de \mathbf{U}^* à l'interface
- Calcul du flux $\mathbf{F}(\mathbf{U}^*)$ à travers l'interface et de $\mathbf{S}(\mathbf{U}^*)$ à partir de \mathbf{U}^*

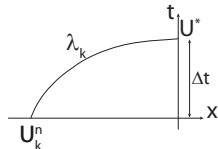


Solveur d'état approché PorAS

Utilisation de la méthode des caractéristiques :

- Écriture de l'équation sur les flux sous forme non conservative (Lhomme et Guinot, 2007 [4]) :

$$\frac{\partial \mathbf{F}}{\partial t} + \mathbf{A} \frac{\partial \mathbf{F}}{\partial x} = \mathbf{AS}$$



Solveur d'état approché PorAS

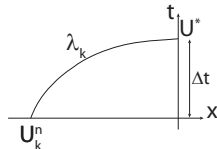
Utilisation de la méthode des caractéristiques :

- ▶ Écriture de l'équation sur les flux sous forme non conservative (Lhomme et Guinot, 2007 [4]) :

$$\frac{\partial \mathbf{F}}{\partial t} + \mathbf{A} \frac{\partial \mathbf{F}}{\partial x} = \mathbf{A} \mathbf{S}$$

- ▶ Diagonalisation du système :

$$\frac{d\mathbf{W}}{dt} = \Lambda \mathbf{S}' \text{ avec } \begin{cases} d\mathbf{W} = \mathbf{K}^{-1} d\mathbf{F} \\ \mathbf{S}' = \mathbf{K}^{-1} \mathbf{S} \end{cases}$$



Solveur d'état approché PorAS

Utilisation de la méthode des caractéristiques :

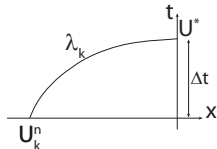
- ▶ Écriture de l'équation sur les flux sous forme non conservative (Lhomme et Guinot, 2007 [4]) :

$$\frac{\partial \mathbf{F}}{\partial t} + \mathbf{A} \frac{\partial \mathbf{F}}{\partial x} = \mathbf{A} \mathbf{S}$$

- ▶ Diagonalisation du système :

$$\frac{d\mathbf{W}}{dt} = \Lambda \mathbf{S}' \text{ avec } \begin{cases} d\mathbf{W} = \mathbf{K}^{-1} d\mathbf{F} \\ \mathbf{S}' = \mathbf{K}^{-1} \mathbf{S} \end{cases}$$

- ▶ Détermination des invariants de Riemann \mathbf{W} en fonction de \mathbf{F}





Solveur d'état approché PorAS

Utilisation de la méthode des caractéristiques :

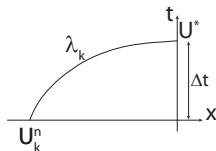
- ▶ Écriture de l'équation sur les flux sous forme non conservative (Lhomme et Guinot, 2007 [4]) :

$$\frac{\partial \mathbf{F}}{\partial t} + \mathbf{A} \frac{\partial \mathbf{F}}{\partial x} = \mathbf{AS}$$

- ▶ Diagonalisation du système :

$$\frac{d\mathbf{W}}{dt} = \Lambda \mathbf{S}' \text{ avec } \begin{cases} d\mathbf{W} = \mathbf{K}^{-1} d\mathbf{F} \\ \mathbf{S}' = \mathbf{K}^{-1} \mathbf{S} \end{cases}$$

- ▶ Détermination des invariants de Riemann \mathbf{W} en fonction de \mathbf{F}
- ▶ Calcul de \mathbf{F}^* à l'interface





Solveur d'état approché PorAS

Utilisation de la méthode des caractéristiques :

- ▶ Écriture de l'équation sur les flux sous forme non conservative (Lhomme et Guinot, 2007 [4]) :

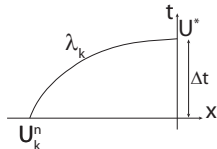
$$\frac{\partial \mathbf{F}}{\partial t} + \mathbf{A} \frac{\partial \mathbf{F}}{\partial x} = \mathbf{AS}$$

- ▶ Diagonalisation du système :

$$\frac{d\mathbf{W}}{dt} = \Lambda \mathbf{S}' \text{ avec } \begin{cases} d\mathbf{W} = \mathbf{K}^{-1} d\mathbf{F} \\ \mathbf{S}' = \mathbf{K}^{-1} \mathbf{S} \end{cases}$$

- ▶ Détermination des invariants de Riemann \mathbf{W} en fonction de \mathbf{F}
- ▶ Calcul de \mathbf{F}^* à l'interface

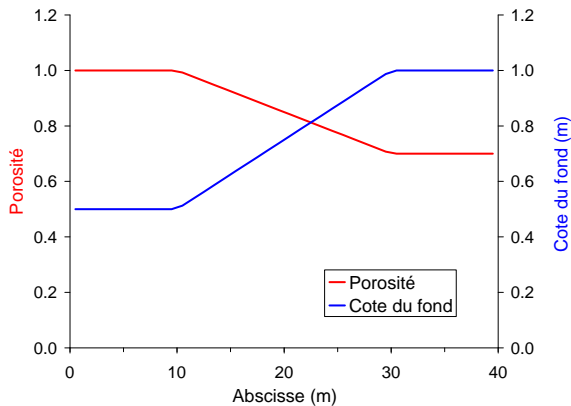
**Approche implantée dans le solveur de Riemann PorAS
(Finaud-Guyot et al., 2009 [3])**





Écoulement en régime permanent

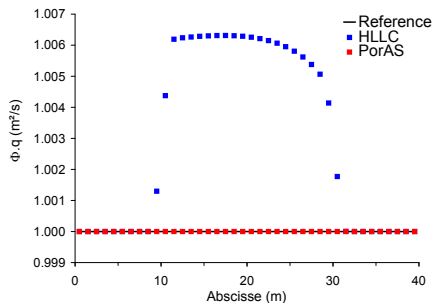
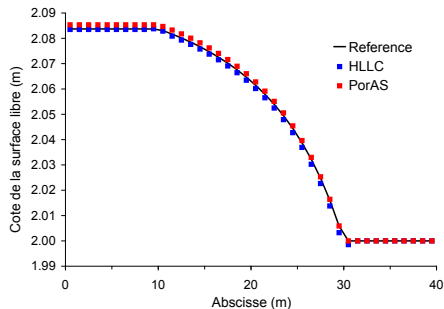
Canal avec un rétrécissement et une rehausse du fond





Écoulement en régime permanent

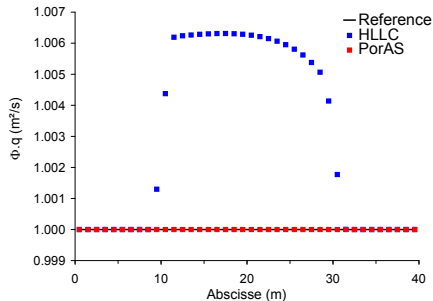
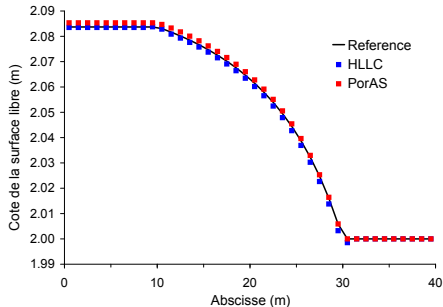
Canal avec un rétrécissement et une rehausse du fond





Écoulement en régime permanent

Canal avec un rétrécissement et une rehausse du fond



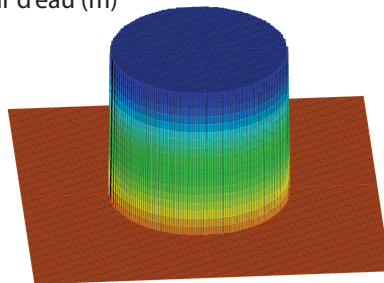
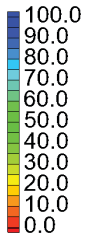
L'erreur de calcul pour le solveur HLLC est expliquée par le fait que les termes source ne sont pas pris en compte dans le calcul des flux



Rupture de barrage

- ▶ Rupture de barrage circulaire

Hauteur d'eau (m)

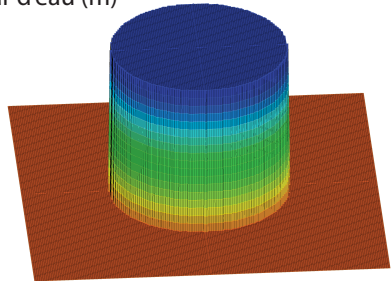
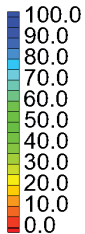




Rupture de barrage

- ▶ Rupture de barrage circulaire
- ▶ Porosité variable :
 $\phi(r) = 1/r$

Hauteur d'eau (m)

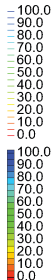




Rupture de barrage

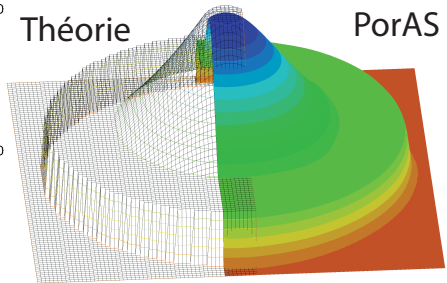
- ▶ Rupture de barrage circulaire
- ▶ Porosité variable :
 $\phi(r) = 1/r$
- ▶ Reproduction correcte des hauteurs d'eau et des débits

Hauteur d'eau (m)



Théorie

PorAS



Plan

Modèle

Méthodologies de couplage employées par les codes de calcul

Contraintes

Description du modèle proposé

Résolution numérique

Méthodes numériques

Implantation dans le code de calcul

Vérification du solveur PorAS

Présentation des résultats

Configuration rectiligne

Configuration sinueuse

Configuration réelle

Conclusion et perspectives

Collecte des données expérimentales

- ▶ Expériences réalisées à l'Ecole Nationale Supérieure d'Agronomie de Montpellier



Collecte des données expérimentales

- ▶ Expériences réalisées à l'Ecole Nationale Supérieure d'Agronomie de Montpellier
- ▶ Construction de différentes configurations à l'aide de briques et parpaings



Collecte des données expérimentales

- ▶ Expériences réalisées à l'Ecole Nationale Supérieure d'Agronomie de Montpellier
- ▶ Construction de différentes configurations à l'aide de briques et parpaings
- ▶ Mesures de hauteur d'eau et de vitesse d'écoulement



Collecte des données expérimentales

- ▶ Expériences réalisées à l'Ecole Nationale Supérieure d'Agronomie de Montpellier
- ▶ Construction de différentes configurations à l'aide de briques et parpaings
- ▶ Mesures de hauteur d'eau et de vitesse d'écoulement
- ▶ Comparaison des mesures expérimentales aux résultats produits par SW12D et SW2D

Validation de la structure transversale de l'écoulement





Écoulement rectiligne

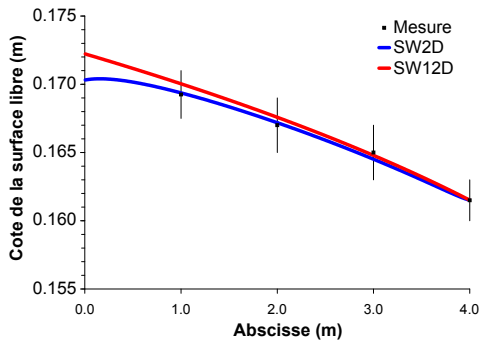
► Dispositif expérimental





Écoulement rectiligne

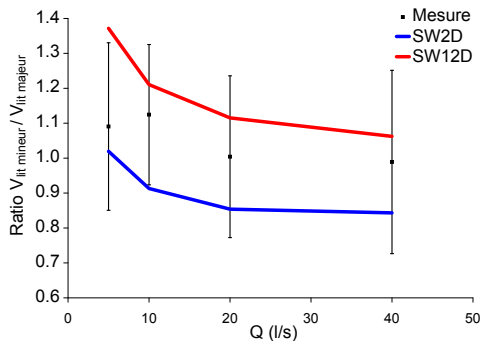
- ▶ Dispositif expérimental
- ▶ Reproduction correcte des hauteurs d'eau mesurées





Écoulement rectiligne

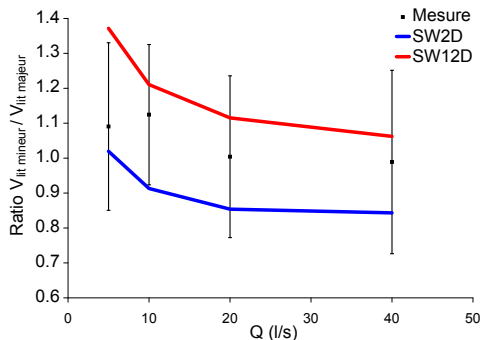
- ▶ Dispositif expérimental
- ▶ Reproduction correcte des hauteurs d'eau mesurées
- ▶ Estimation des vitesses en adéquation avec les mesures





Écoulement rectiligne

- ▶ Dispositif expérimental
- ▶ Reproduction correcte des hauteurs d'eau mesurées
- ▶ Estimation des vitesses en adéquation avec les mesures

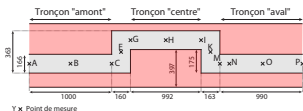


Réduction de la durée de simulation par rapport à SW2D :
un facteur 1.5 à 10



Écoulement sinueux

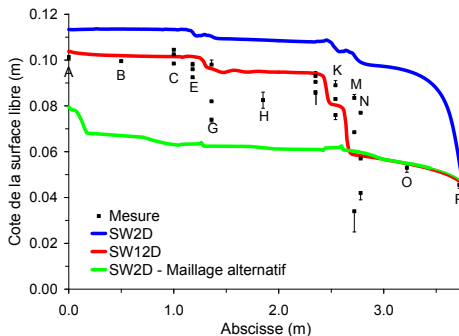
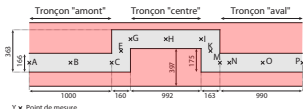
► Succession de coudes





Écoulement sinueux

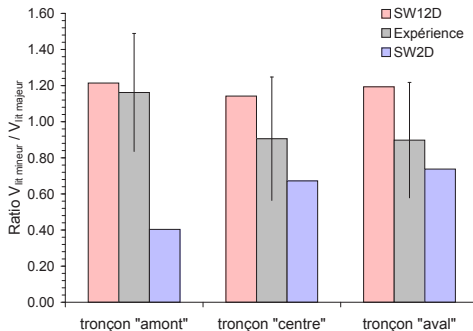
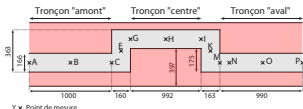
- ▶ Succession de coudes
- ▶ SW12D reproduit correctement les hauteurs d'eau mesurées et les pertes de charge





Écoulement sinueux

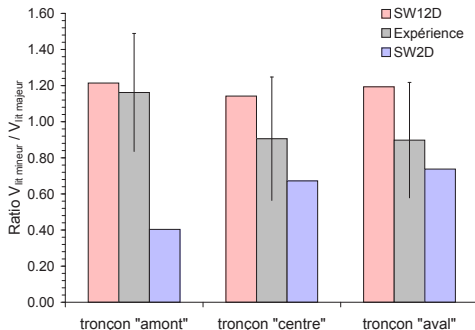
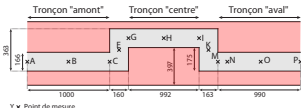
- ▶ Succession de coudes
- ▶ SW12D reproduit correctement les hauteurs d'eau mesurées et les pertes de charge
- ▶ Estimation correcte du ratio des vitesses





Écoulement sinueux

- ▶ Succession de coudes
- ▶ SW12D reproduit correctement les hauteurs d'eau mesurées et les pertes de charge
- ▶ Estimation correcte du ratio des vitesses

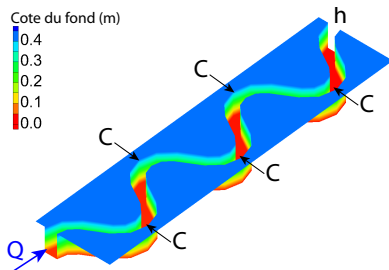


Réduction de la durée de simulation par rapport à SW2D :
facteur 50 à 80



Méandres sans débordement

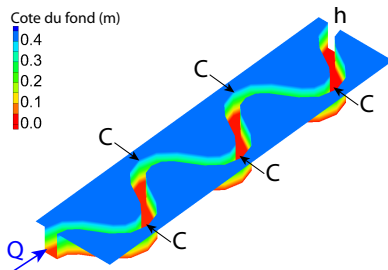
- Comparaison de SW12D et HEC-RAS





Méandres sans débordement

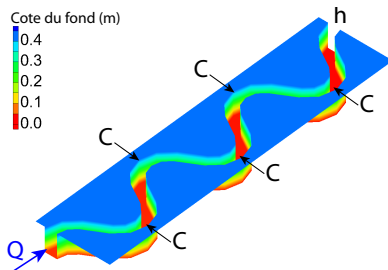
- ▶ Comparaison de SW12D et HEC-RAS
 - ▶ Configuration 1D
 - ▶ Écoulement en régime permanent





Méandres sans débordement

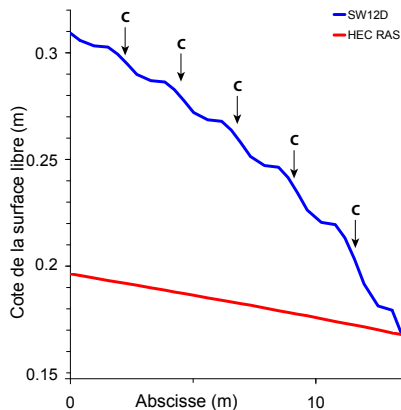
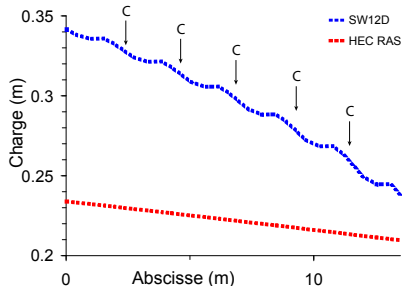
- ▶ Comparaison de SW12D et HEC-RAS
 - ▶ Configuration 1D
 - ▶ Écoulement en régime permanent
 - ▶ Coefficient de Strickler identique





Méandres sans débordement

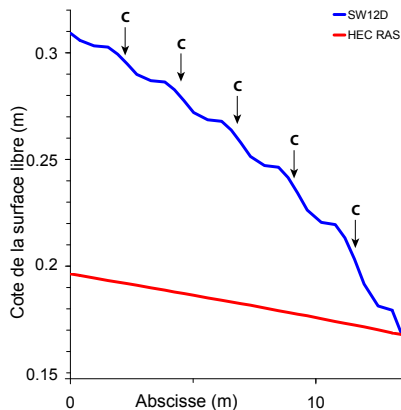
- ▶ Comparaison de SW12D et HEC-RAS
- ▶ Modélisation des pertes de charge par SW12D





Méandres sans débordement

- ▶ Comparaison de SW12D et HEC-RAS
- ▶ Modélisation des pertes de charge par SW12D
- ▶ Même durée de simulation





Méandres avec débordement

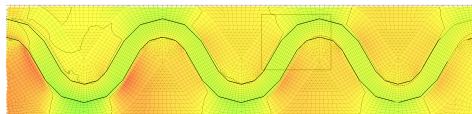
- ▶ Écoulement en régime permanent



Méandres avec débordement

- ▶ Écoulement en régime permanent
- ▶ Modélisation 2D classique

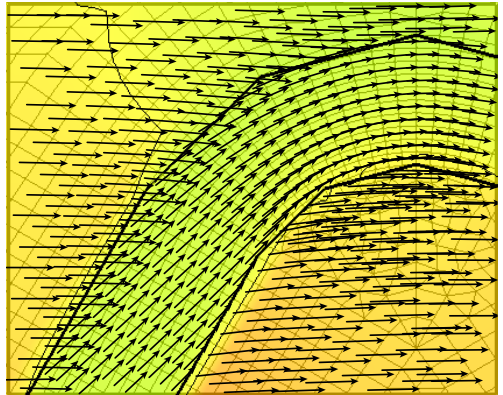
Cote de la surface libre (m)





Méandres avec débordement

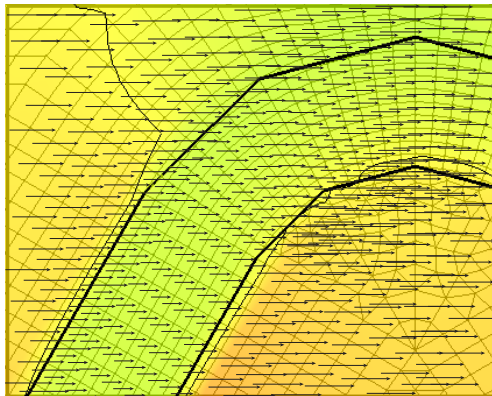
- ▶ Écoulement en régime permanent
- ▶ Modélisation 2D classique
- ▶ Forte influence du lit mineur sur les vitesses





Méandres avec débordement

- ▶ Écoulement en régime permanent
- ▶ Modélisation 2D classique
 - ▶ Forte influence du lit mineur sur les vitesses
 - ▶ Ralentissement au niveau du lit mineur

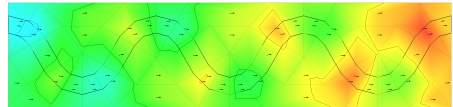




Méandres avec débordement

- ▶ Écoulement en régime permanent
- ▶ Modélisation 2D classique
 - ▶ Forte influence du lit mineur sur les vitesses
 - ▶ Ralentissement au niveau du lit mineur
- ▶ Modélisation couplée 1D-2D

Cote de la surface libre (m)

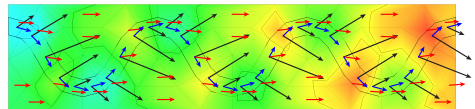




Méandres avec débordement

- ▶ Écoulement en régime permanent
- ▶ Modélisation 2D classique
 - ▶ Forte influence du lit mineur sur les vitesses
 - ▶ Ralentissement au niveau du lit mineur
- ▶ Modélisation couplée 1D-2D
 - ▶ Influence moins importante du lit mineur sur les vitesses
 - ▶ Représentation des courts-circuits de méandres

Cote de la surface libre (m)

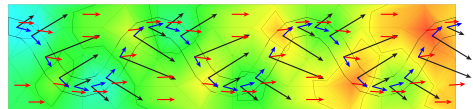




Méandres avec débordement

- ▶ Écoulement en régime permanent
- ▶ Modélisation 2D classique
- ▶ Modélisation couplée 1D-2D

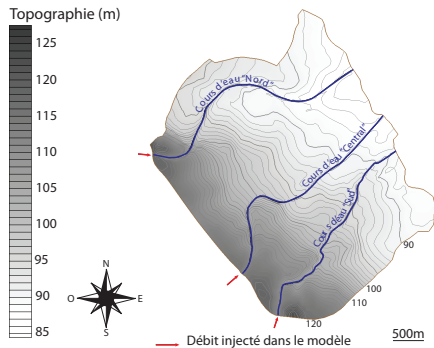
Cote de la surface libre (m)



Réduction du temps de simulation par rapport à SW2D par un facteur 2000



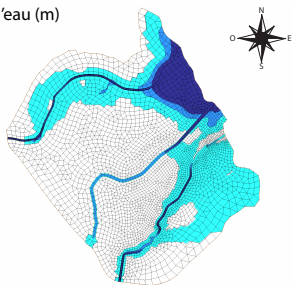
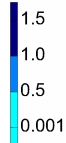
Configuration réelle



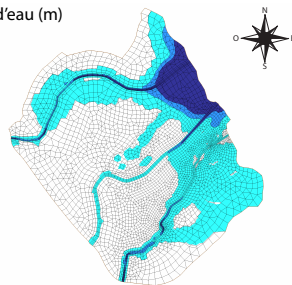
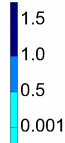


Configuration réelle

Hauteur d'eau (m)



Hauteur d'eau (m)

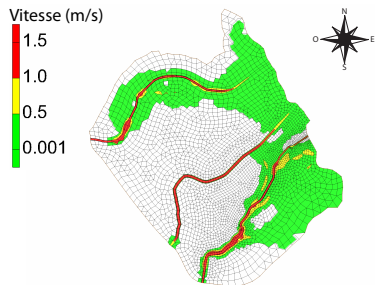


Hauteur d'eau maximale modélisée
avec SW12D

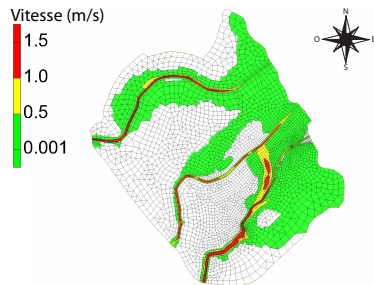
Hauteur d'eau maximale modélisée
avec SW2D



Configuration réelle



Vitesse maximale modélisée
avec SW12D

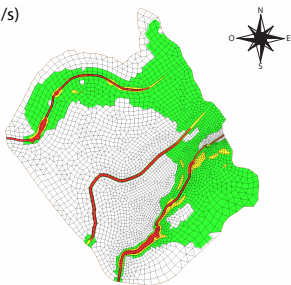


Vitesse maximale modélisée
avec SW2D



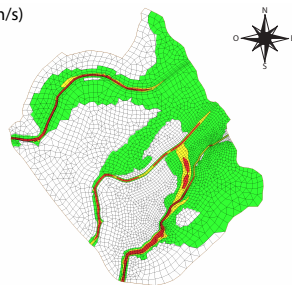
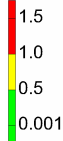
Configuration réelle

Vitesse (m/s)



Vitesse maximale modélisée
avec SW12D

Vitesse (m/s)



Vitesse maximale modélisée
avec SW2D

Réduction de la durée de simulation par rapport à SW2D par 16



Conclusion

- ▶ Le modèle de couplage 1D-2D proposé permet :

Conclusion

- ▶ Le modèle de couplage 1D-2D proposé permet :
 - ▶ une prise en compte des axes d'écoulement (lit mineur / axe urbain) sans avoir à les mailler finement



Conclusion

- ▶ Le modèle de couplage 1D-2D proposé permet :
 - ▶ une prise en compte des axes d'écoulement (lit mineur / axe urbain) sans avoir à les mailler finement
 - ▶ une représentation des phénomènes de court-circuit de méandres



Conclusion

- ▶ Le modèle de couplage 1D-2D proposé permet :
 - ▶ une prise en compte des axes d'écoulement (lit mineur / axe urbain) sans avoir à les mailler finement
 - ▶ une représentation des phénomènes de court-circuit de méandres
- ▶ Les méthodes numériques proposées permettent la résolution des équations mises en jeu

Conclusion

- ▶ Le modèle de couplage 1D-2D proposé permet :
 - ▶ une prise en compte des axes d'écoulement (lit mineur / axe urbain) sans avoir à les mailler finement
 - ▶ une représentation des phénomènes de court-circuit de méandres
- ▶ Les méthodes numériques proposées permettent la résolution des équations mises en jeu
- ▶ Ces méthodes ont permis le développement d'un code de calcul SW12D :



Conclusion

- ▶ Le modèle de couplage 1D-2D proposé permet :
 - ▶ une prise en compte des axes d'écoulement (lit mineur / axe urbain) sans avoir à les mailler finement
 - ▶ une représentation des phénomènes de court-circuit de méandres
- ▶ Les méthodes numériques proposées permettent la résolution des équations mises en jeu
- ▶ Ces méthodes ont permis le développement d'un code de calcul SW12D :
 - ▶ 1,5 à 2000 fois plus rapide que SW2D



Conclusion

- ▶ Le modèle de couplage 1D-2D proposé permet :
 - ▶ une prise en compte des axes d'écoulement (lit mineur / axe urbain) sans avoir à les mailler finement
 - ▶ une représentation des phénomènes de court-circuit de méandres
- ▶ Les méthodes numériques proposées permettent la résolution des équations mises en jeu
- ▶ Ces méthodes ont permis le développement d'un code de calcul SW12D :
 - ▶ 1,5 à 2000 fois plus rapide que SW2D
 - ▶ Meilleure représentation des phénomènes (Pertes de charge dans les coudes, courts-circuits de méandres)



Perspectives de recherche

- Définition d'un modèle sous maille plus précis :

Perspectives de recherche

- ▶ Définition d'un modèle sous maille plus précis :
 - ▶ Cote du fond différente en rive droite et gauche



Perspectives de recherche

- ▶ Définition d'un modèle sous maille plus précis :
 - ▶ Cote du fond différente en rive droite et gauche
 - ▶ Cote de la surface libre différente en rive droite et gauche

Perspectives de recherche

- ▶ Définition d'un modèle sous maille plus précis :
 - ▶ Cote du fond différente en rive droite et gauche
 - ▶ Cote de la surface libre différente en rive droite et gauche
- ▶ Section d'écoulement 1D non rectangulaire



Perspectives de recherche

- ▶ Définition d'un modèle sous maille plus précis :
 - ▶ Cote du fond différente en rive droite et gauche
 - ▶ Cote de la surface libre différente en rive droite et gauche
- ▶ Section d'écoulement 1D non rectangulaire
- ▶ Gestion des confluences



Perspectives de recherche

- ▶ Définition d'un modèle sous maille plus précis :
 - ▶ Cote du fond différente en rive droite et gauche
 - ▶ Cote de la surface libre différente en rive droite et gauche
- ▶ Section d'écoulement 1D non rectangulaire
- ▶ Gestion des confluences
- ▶ Validation en grandeur réelle

Remerciements

- ▶ Ginger Environnement & Infrastructures pour avoir financé cette thèse dans le cadre d'une bourse Cifre, pour m'avoir fourni les données utilisées pour la modélisation d'une configuration réelle.
- ▶ L'Ecole Nationale Supérieure d'Agronomie de Montpellier pour le prêt de ses installations expérimentales.

Merci



G. Bertrand.

Le calcul d'axes hydrauliques dans les rivières à plaines inondables.
Technical report, Ministère Wallon de l'Équipement et des
Transports, D. 213, Chatelet, Belgium (in French), 1994.



D. Bousmar.

Flow modelling in compound channels.

PhD thesis, Université Catholique de Louvain, 2002.



P. Finaud-Guyot, C. Delenne, J. Lhomme, V. Guinot, and C. Llovel.

An approximate-state Riemann solver for the two-dimensional shallow
water equations with porosity.

International Journal for Numerical Methods in Fluids, 2009.

A paraître.



J. Lhomme and V. Guinot.



A general approximate-state Riemann solver for hyperbolic systems of conservation laws with source terms.

International Journal for Numerical Methods in Fluids,
53 :1509–1540, 2007.